

Сельскохозяйственное машиностроение

Металлообработка

УДК 621.878.44

МЕТОДИКА ПРОЕКТИРОВАНИЯ ГИДРОМЕХАНИЗМА ПОВОРОТА КОВША ОДНОКОВШОВОГО ФРОНТАЛЬНОГО ПОГРУЗЧИКА

А.Н. Смирнов,

доцент каф. инженерной графики БГАТУ, канд. техн. наук

П.В. Авраменко,

зав. каф. инженерной графики БГАТУ, канд. техн. наук, доцент

Н.Г. Серебрякова,

зав. каф. моделирования и проектирования БГАТУ, канд. пед. наук, доцент

В.И. Татаринов, А.В. Лавникович,

студенты факультета технического сервиса в АПК БГАТУ

В статье рассмотрены существующие гидромеханизмы поворота ковша одноковшовых фронтальных погрузчиков. Приведена методика проектирования перекрестного рычажного механизма.

Ключевые слова: фронтальный погрузчик, погружное оборудование, ковш, выглубляющее усилие.

Existing hydromechanisms of single-bucket frontal loaders turn are considered in the article. The methodology of cross lever mechanism design is provided.

Keywords: frontal loader, loading equipment, bucket, extraction force.

Введение

Одноковшовые погрузчики широко применяются в различных отраслях для погрузки и транспортирования сыпучих и кусковых материалов, а при установке сменного рабочего оборудования для выполнения ряда других работ.

В мировой практике наиболее распространены фронтальные погрузчики, которые отличаются наибольшей простотой конструкции, универсальностью применения сменного оборудования, унификацией конструктивного исполнения независимо от типоразмера машины и др.

Основным рабочим органом погрузчика является ковш, установленный на конце стрелы. Поворотные механизмы ковша отличаются большим разнообразием кинематических схем и исполнений [1]. Наиболее приемлемы для погружного оборудования одноковшовых погрузчиков одноступенчатые поворотные механизмы с механической системой слежения положения ковша при подъеме стрелы. Для большинства кинематических схем рычажного механизма поворота ковша наиболее рациональной является схема перекрестного типа.

Она обеспечивает лучшие технико-эксплуатационные показатели, поэтому принята для большинства погрузчиков. В результате применения рычага первого рода с опорой на стреле обеспечивается вырывное усилие N_B в начале поворота ковша в штабеле насыпного груза. Оно является одним из наиболее важных параметров, которое должно превосходить номинальную грузоподъемность погрузчика для возможности напол-

нения ковша при тяжелых материалах и грунтах, а также для выполнения не только погружных, а также и землеройно-транспортных работ. Исходя из практики $N_B = (2 \div 3)Q_H$ (Q_H - номинальная грузоподъемность погрузчика) [2].

Процесс проектирования гидромеханизма поворота ковша одноковшового фронтального погрузчика является трудоемким и особенно важным, так как при построении его кинематической схемы необходимо обеспечить наибольшее выглубляющее усилие при одинаковых параметрах ковшового гидроцилиндра и необходимую кинематику при запрокидывании ковша, подъеме стрелы и разгрузке. Для уменьшения габаритов и повышения маневренности этот гидромеханизм должен быть компактным.

В существующей методике при построении кинематической схемы по-гружного оборудования стрелу предлагается изображать в пяти положениях от нижнего до верхнего, затем конструктивно путем прорачивания и подбора определяются элементы рычажной системы [2]. Процесс является громоздким, его приходится повторять, что занимает много времени. Кроме этого, в расчет не принимается такой важный параметр, как вырывное усилие ковша, которое является следствием построения и практически всегда не будет максимальным.

Целью работы является вывод математических зависимостей и обоснование рациональных параметров для автоматизации проектирования гидромеханизма поворота ковша одноковшового фронтального погрузчика.

Основная часть

Для устранения указанных недостатков предлагается упрощенная методика расчета, которая может быть использована при проектировании.

Для решения этой задачи применялся аналитический метод.

По рекомендациям источников [2, 4] определялись параметры основного ковша для заданной грузоподъемности, в том числе радиус поворота R_0 и расстояние R_K между осями вращения стрелы и тяги, равное $(0,13 \div 0,14) L_c$, где L_c – длина стрелы, м.

Конструктивно назначался угол α_R наклона линии O_1O_3 к горизонтали (рис. 1):

$$\alpha_R = \arctg(n/m); \quad m = R_K \cos \alpha_R; \quad n = R_K \sin \alpha_R.$$

Для построения всей кинематики использовалось только одно (нижнее) положение стрелы. Для удобства расчетов изображали стрелу OO_1 длиной L_c в крайнем нижнем положении под углом α_H к вертикали и считали ее неподвижной (рис. 2).

Выбиралась система прямоугольных декартовых координат XOY с началом отсчета в точке O вращения стрелы.

Ковш располагался так, чтобы его режущая кромка была горизонтальна. От линии O_1O_3 откладывали влево последовательно полный угол поворота стрелы α_C и наибольший угол разгрузки ковша α_P , а вправо – наибольший угол запрокидывания ковша $\alpha_{3\pi}$. Из точки O_1 конца стрелы проводили дуги радиусами R_K и $r_1 = h_p = (0,125 \div 0,135) \times R_0$ [2], где h_p – плечо тяги в положении разгрузки.

Из точки O_3' проводили прямую, касательную радиусу $r_1 = h_p$, на которой на расстоянии L отложили точку O_2 шарнира вращения рычага относительно стрелы. Для обеспечения лучшей устойчивости, повышения грузоподъемности и минимизации радиуса поворота по наружной кромке ковша, конструктивно положение точки O_2 выбирали так, чтобы ковш в запрокинутом положении на угол $\alpha_{3\pi}$ находился как можно ближе к рычагу и передним колесам погрузчика.

Принимаем линию O_2O_3' равной суммарной длине L нижней части рычага P и тяги T в положении разгрузки ковша:

$$O_2O_3' = L = P + T;$$

$$P = L - T.$$

Координаты точки O_1 вершины стрелы равны:

$$a_1 = O_{1X} = L_c \sin \alpha_H; \quad b_1 = O_{1Y} = L_c \cos \alpha_H.$$

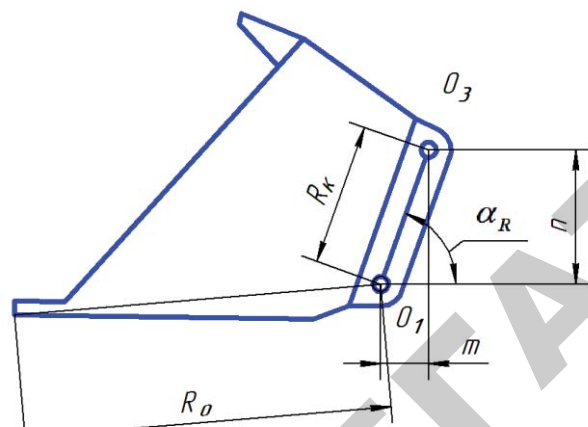


Рисунок 1. Параметры основного ковша погрузчика

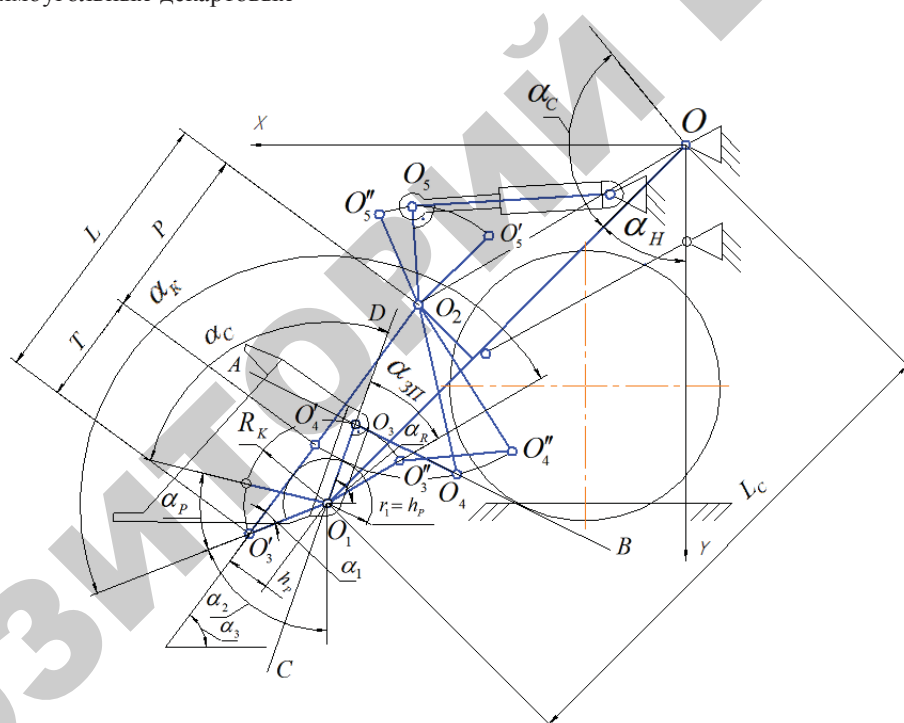


Рисунок 2. Схема для расчета кинематики погрузочного оборудования

Координаты точки O_3 равны:

$$a_2 = O_{3X} = O_{1X} - R_K \cos \alpha_R = L_c \sin \alpha_H - m = \\ = a_1 - m;$$

$$b_2 = O_{3Y} = O_{1Y} - R_K \sin \alpha_R = L_c \cos \alpha_H - n = \\ = b_1 - n.$$

Уравнение окружности с центром в точке $O_3(a_2, b_2)$ радиусом T (длина тяги):

$$(x - a_2)^2 + (y - b_2)^2 = T^2. \quad (1)$$

Определяем угол α_2 :

$$\alpha_2 = 270^\circ - (\alpha_r + \alpha_c + \alpha_p).$$

Координаты точки O'_3 равны:

$$\begin{aligned} a_3 &= O'_{3x} = O_{1x} + R_k \sin \alpha_2 = a_1 + \\ &+ R_k \sin[270^\circ - (\alpha_r + \alpha_c + \alpha_p)]; \\ b_3 &= O'_{3y} = O_{1y} + R_k \cos \alpha_2 = b_1 + \\ &+ R_k \cos[270^\circ - (\alpha_r + \alpha_c + \alpha_p)]. \end{aligned}$$

Определяем угол α_1 :

$$\alpha_1 = \arcsin(h_p / R_k).$$

Находим угол α_3 :

$$\alpha_3 = \alpha_1 + (90^\circ - \alpha_2).$$

Координаты точки O_2 равны:

$$\begin{aligned} a_4 &= O_{2x} = O'_{3x} - L \cos \alpha_3 = a_3 - L \cos \alpha_3; \\ b_4 &= O_{2y} = O'_{3y} - L \sin \alpha_3 = b_3 - L \sin \alpha_3. \end{aligned}$$

Уравнение окружности с центром в точке $O_2(a_4, b_4)$ радиусом P :

$$(x - a_4)^2 + (y - b_4)^2 = P^2 = (L - T)^2. \quad (2)$$

На основании выражений (1) и (2) составляем систему уравнений:

$$\begin{cases} (x - a_2)^2 + (y - b_2)^2 = T^2; \\ (x - a_4)^2 + (y - b_4)^2 = (L - T)^2. \end{cases} \quad (3)$$

Так как система уравнений (3) имеет три неизвестных (x, y, T), то для ее решения необходимо дополнительно задать уравнение прямой AB , проходящей через точку O_3 , которая является направлением тяги T при горизонтальном положении режущей кромки ковша.

Для обеспечения наибольшего вырывного усилия отношение h_{T2} / h_{T1} (рис. 3) должно быть максимальным. Это достигается тогда, когда тяга T направлена под прямым углом к R_K (линии O_1O_3).

Уравнение прямой CD , имеющей угловой коэффициент $k = \operatorname{tg} \alpha_r = n/m$, проходящей через точку $O_1(a_1, b_1)$ [3], имеет вид:

$$y - b_1 = \frac{n}{m}(x - a_1)$$

$$\text{или } nx - my - na_1 + mb_1 = 0.$$

$$\text{Обозначим } -na_1 + mb_1 = c_1.$$

Тогда уравнение данной прямой имеет вид:

$$nx - my + c_1 = 0.$$

Уравнение прямой AB , перпендикулярной прямой CD :

$$mx + ny - c_2 = 0.$$

Точка O_3 лежит на прямой $mx + ny - c_2 = 0$, поэтому ее коэффициенты должны удовлетворять уравнению $ma_2 + nb_2 - c_2 = 0$.

Отсюда $c_2 = ma_2 + nb_2$.

Итак, уравнение прямой AB принимает вид:

$$mx + ny - c_2 = 0.$$

Окончательно имеем систему уравнений

$$\begin{cases} (x - a_2)^2 + (y - b_2)^2 = T^2; \\ (x - a_4)^2 + (y - b_4)^2 = (L - T)^2; \\ mx + ny - c_2 = 0. \end{cases} \quad (4)$$

Решая систему уравнений (4), находим длину тяги T и рычага P .

Вырывное усилие на кромке ковша (рис. 3) [2]:

$$N_B = \frac{F_{\text{Ц}} Z_{\text{Ц}} - G_K i_K}{K i_{\text{П}}}, \quad (5)$$

где $F_{\text{Ц}}$ – усилие на штоке ковшового гидроцилиндра, Н;

$Z_{\text{Ц}}$ – число ковшовых гидроцилиндров;

G_K – вес ковша, Н;

i_K – мгновенное передаточное отношение гидромеханизма погрузочного оборудования при весе ковша G_K .

$$i_K = \frac{h_K}{h_{T1}} \frac{h_{T2}}{h_{\text{Ц}}}, \quad (6)$$

где h_K – плечо силы G_K силы относительно шарнира O_1 , м;

h_{T1}, h_{T2} – соответственно плечи тяги относительно шарниров O_1 и O_2 , м;

$h_{\text{Ц}}$ – плечо ковшового гидроцилиндра относительно шарнира O_2 , м;

K – коэффициент запаса, учитывающий потери на трение в шарнирах рычажной системы;

$i_{\text{П}}$ – мгновенное передаточное отношение гидромеханизма погрузочного оборудования при вырывном усилии N_B :

$$i_{\text{П}} = \frac{h_B}{h_{T1}} \frac{h_{T2}}{h_{\text{Ц}}}, \quad (7)$$

где h_B – плечо силы N_B силы относительно шарнира O_1 , м.

Расстояние от точки O_2 до прямой AB определим из рисунка 3 [3]:

$$h_{T2} = O_2 K = \frac{|ma_4 + nb_4 - c_2|}{\sqrt{m^2 + n^2}}. \quad (8)$$

Ось гидроцилиндра ковша направляем перпендикулярно верхней части рычага (линии O_2O_5). Плечо O_2O_5 , ход гидроцилиндра и координаты его крепления к порталу определяем по методикам, изложенным в [5, 6].

Подставляя выражение (8) в формулы (6) и (7), учитывая, что $h_{T1}=R_K$, а затем полученные мгновенные передаточные отношения i_K и $i_{\text{П}}$ в выражение (5), зная усилие $F_{\text{Ц}}$ на штоке ковшового гидроцилиндра и их число $Z_{\text{Ц}}$, находим вырывное усилие N_B на кромке ковша.

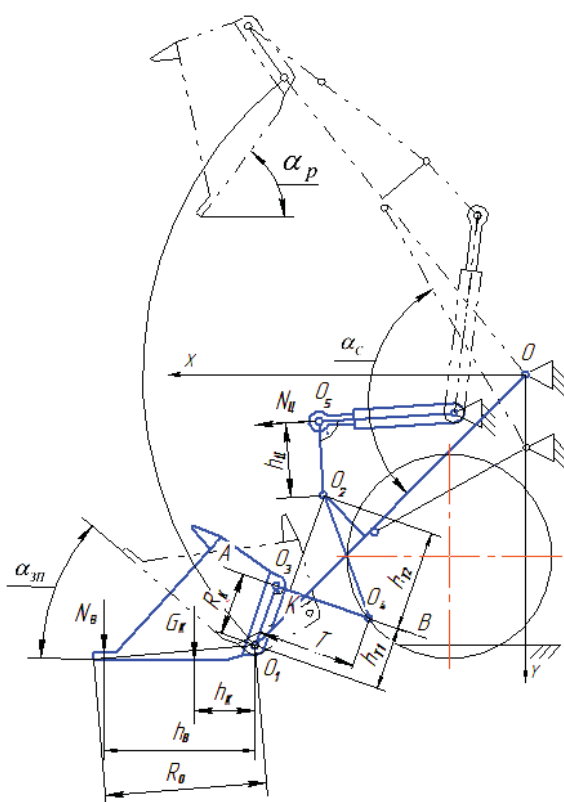


Рисунок 3. Схема для расчета вырывного усилия на кромке ковша погрузчика

Заключение

1. В результате проведенных расчетов была получена компоновка гидромеханизма поворота ковша, обеспечивающая необходимую кинематику, длины нижней и верхней части рычага P и тяги T , ход гидроцилиндра ковша и координаты его крепления к порталу, вырывное усилие N_B , минимальные габариты

ты, лучшую устойчивость и маневренность погрузчика, повышение грузоподъемности.

2. Изложенная методика проектирования гидромеханизма поворота ковша одноковшового фронтального погрузчика может быть реализована в среде MathCAD с использованием программного обеспечения.

СПИСОК ИСПОЛЬЗОВАННЫХ ИСТОЧНИКОВ

1. Справочник конструктора дорожных машин / И.П. Бородачев [и др]. – 2-е изд., перераб. и доп. – М.: Машиностроение, 1973. – 503 с.
2. Базанов, А.Ф. Самоходные погрузчики / А.Ф. Базанов, Г.В. Забегалов. – 2-е изд., перераб. и доп. – М.: Машиностроение, 1979. – 406 с.
3. Гусак, А.А. Справочник по высшей математике / А.А. Гусак, Г.М. Гусак, Е.М. Бричкова. – 4-е изд. – Мин.: ТетраСистемс, 2002. – 640 с.
4. Машины землеройные. Ковши погрузчиков и погрузочные ковши экскаваторов. Расчет вместимости: ГОСТ 29290-92 (ИСО 7546-83); введ. 01.07.93.
5. Смирнов, А.Н. Расчет некоторых кинематических и динамических параметров погружного оборудования одноковшового фронтального погрузчика / А.Н. Смирнов, Н.Д. Лепешкин // Механизация и электрификация сельского хозяйства: межвед. тематич. сб. РУП «НПЦ НАН Беларусь по механизации сельского хозяйства». – Мин., 2012. – Вып. 46. – С. 64.
6. Смирнов, А.Н. Выбор рациональных координат установки гидроцилиндров подъема стрелы погрузчика / А.Н. Смирнов, Н.Д. Лепешкин // Механизация и электрификация сельского хозяйства: межвед. тематич. сб. РУП «НПЦ НАН Беларусь по механизации сельского хозяйства». – Мин., 2012. – Вып. 46. – С. 68.

ПОСТУПИЛА В РЕДАКЦИЮ 01.06.2020

“Агропанорама” - научно-технический журнал для работников агропромышленного комплекса. Это издание для тех, кто стремится донести результаты своих исследований до широкого круга читателей, кого интересуют новые технологии, кто обладает практическим опытом решения задач.

Журнал “Агропанорама” включен в список изданий, рекомендуемых Высшей аттестационной комиссией для опубликования результатов диссертационных исследований по техническим (сельскохозяйственное машиностроение и энергетика, технический сервис в АПК), экономическим (АПК) и сельскохозяйственным наукам (зоотехния).

Журнал выходит один раз в два месяца, распространяется по подписке и в розницу в киоске БГАТУ. Подписной индекс в каталоге Республики Беларусь: для индивидуальных подписчиков - 74884, предприятий и организаций - 748842. Стоимость подписки на 2-е полугодие 2020 года: для индивидуальных подписчиков - 25,77 руб., ведомственная подписка - 28,02 руб.